

1/19

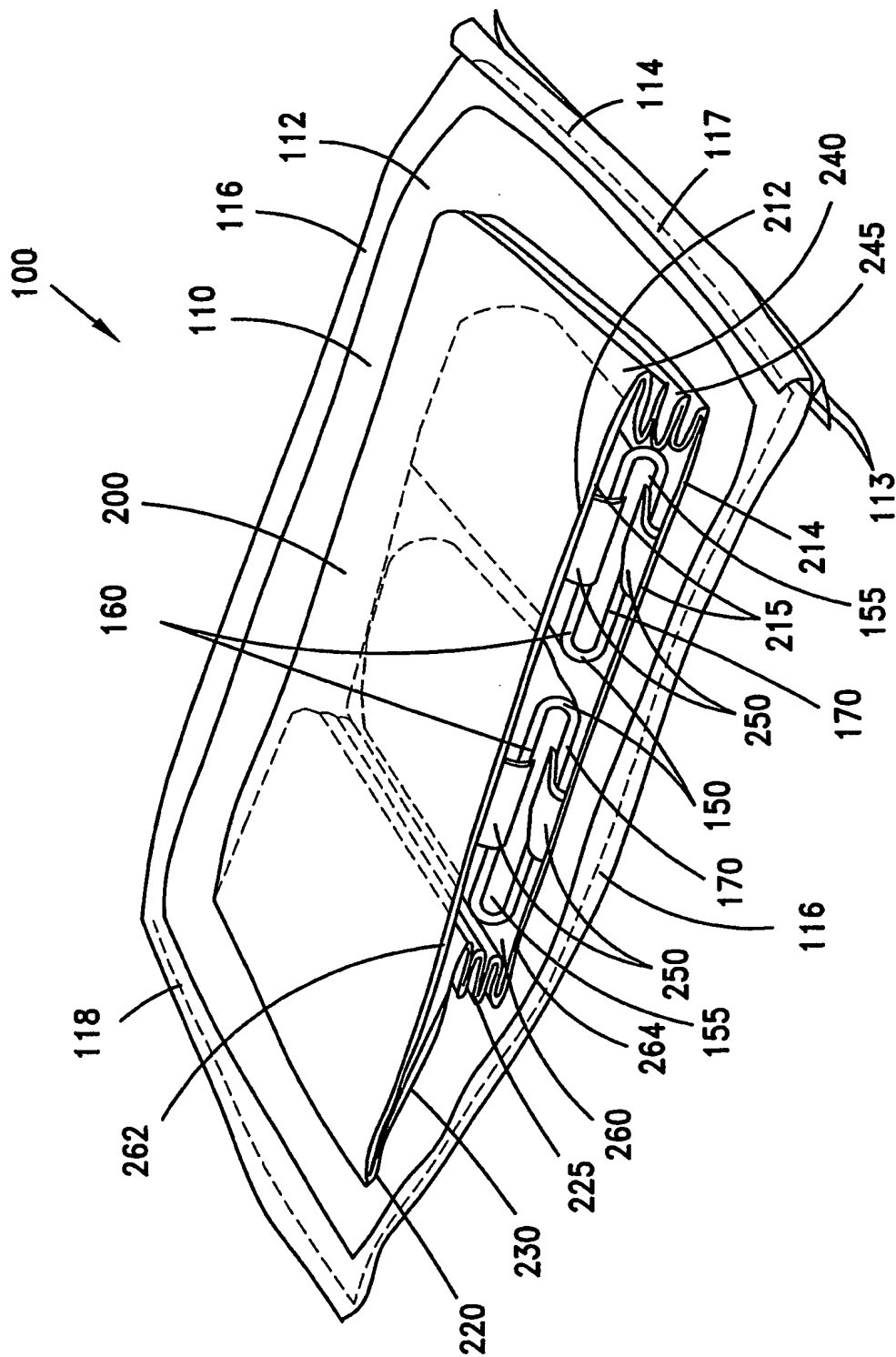


Fig. 1



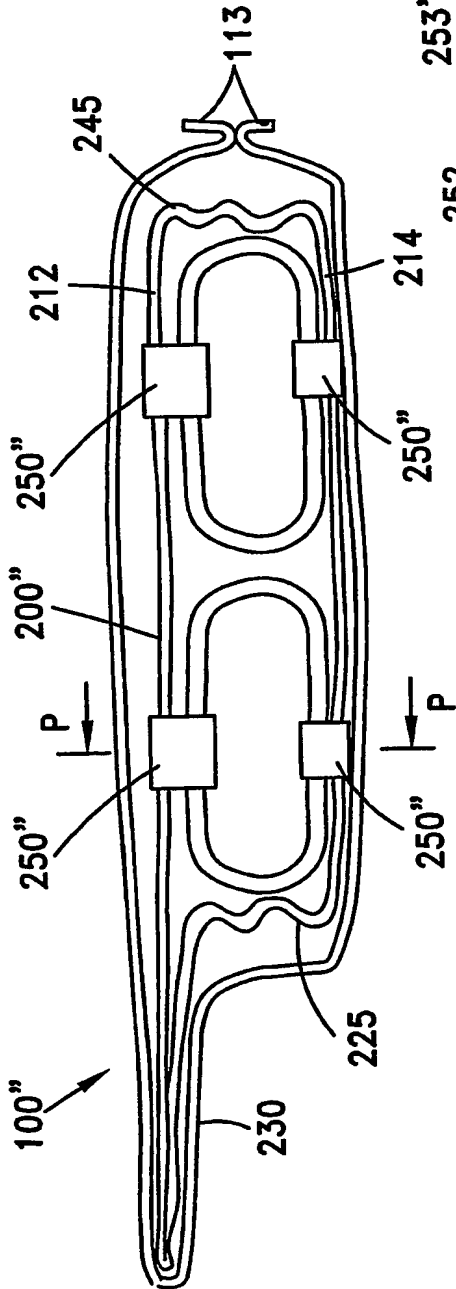


Fig. 3(a)

3/19

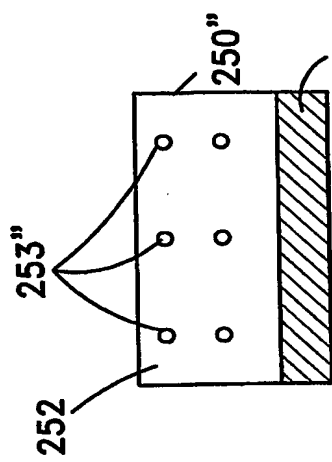


Fig. 3(d)

Section P-P

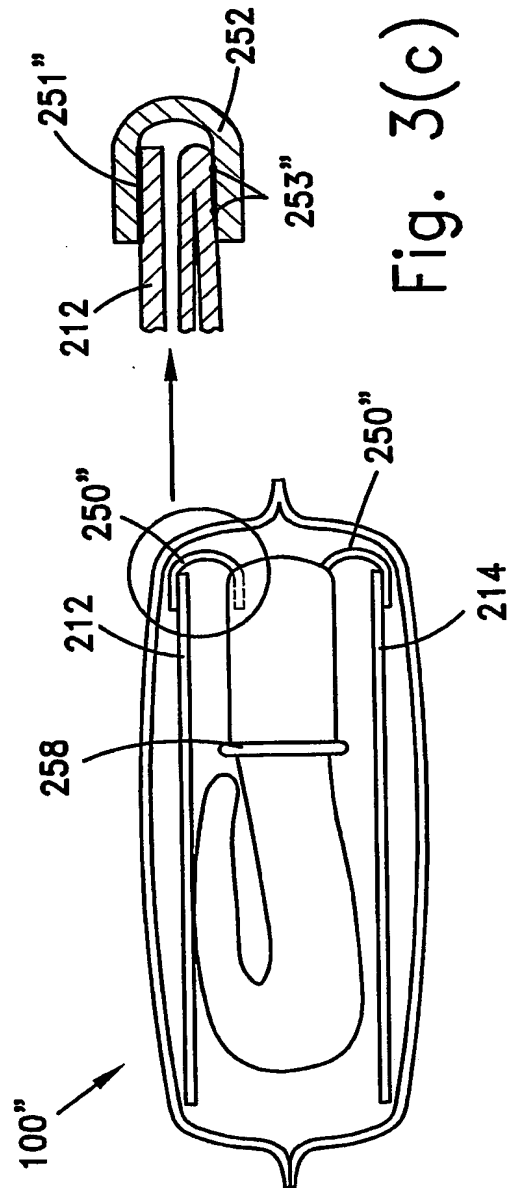


Fig. 3(b)

Fig. 3(c)

4/19

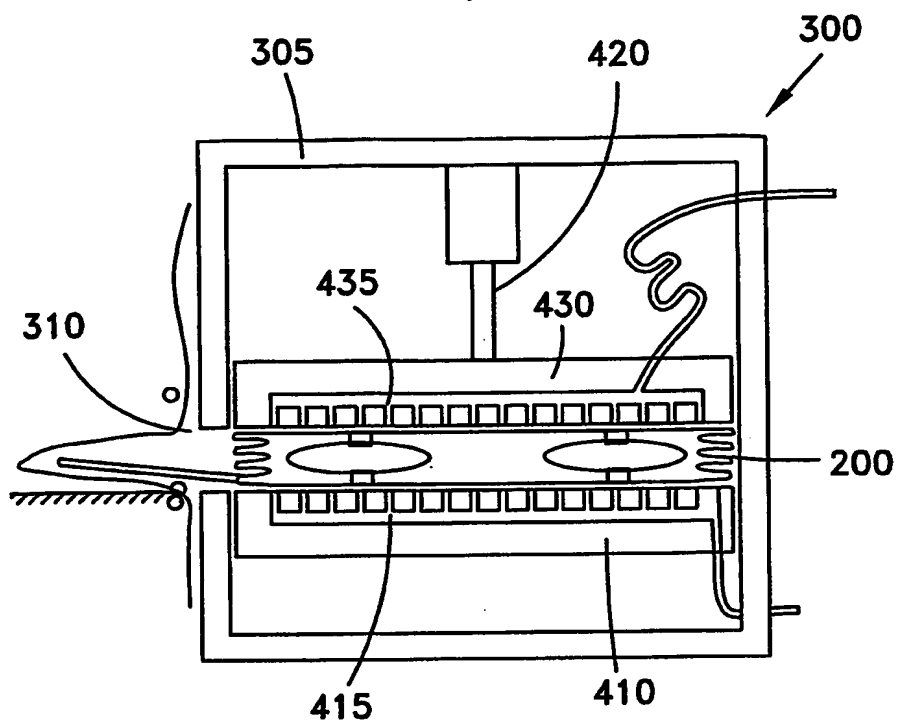


Fig. 4(a)

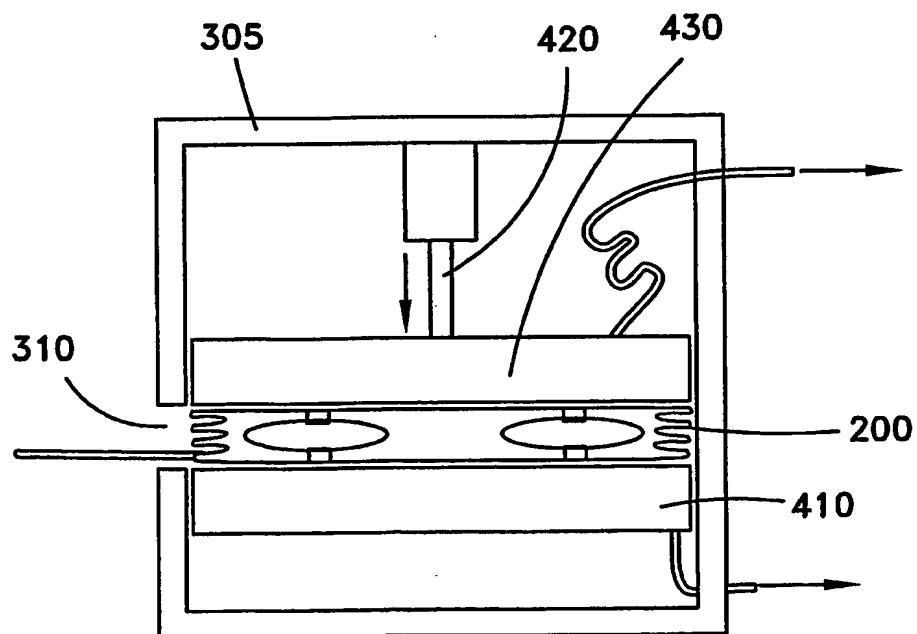


Fig. 4(b)

5/19

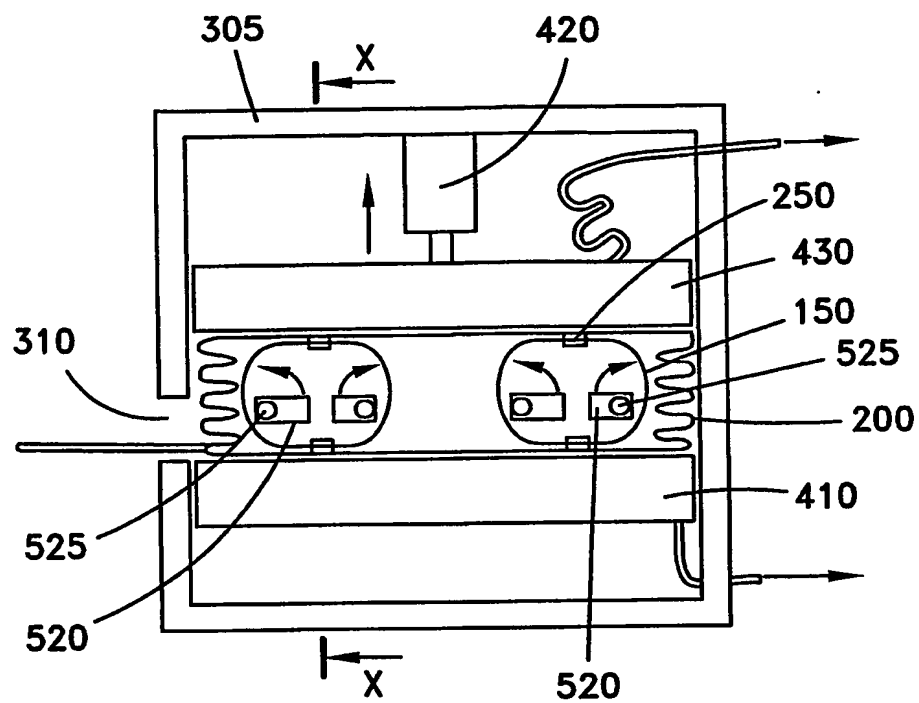


Fig. 4(c)

6/19

SECTION X-X

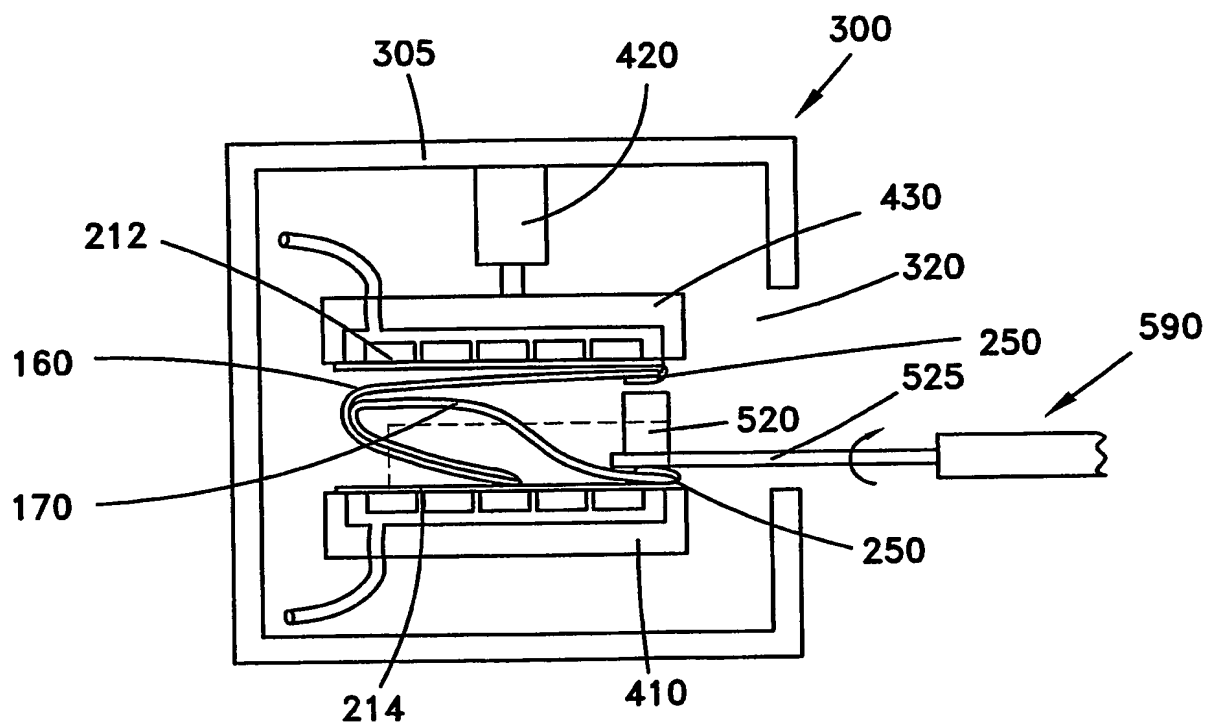


Fig. 5

7/19

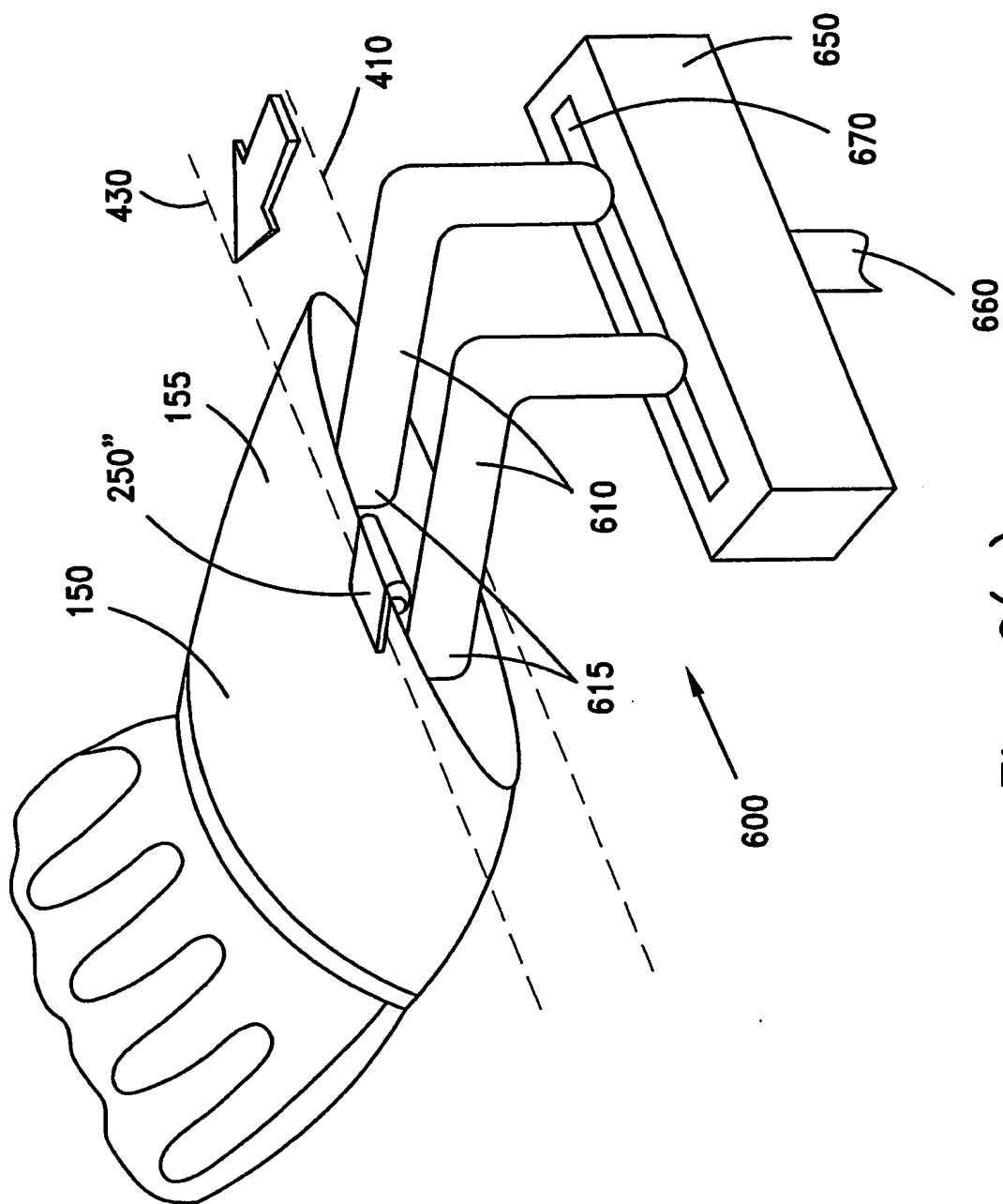


Fig. 6(a)

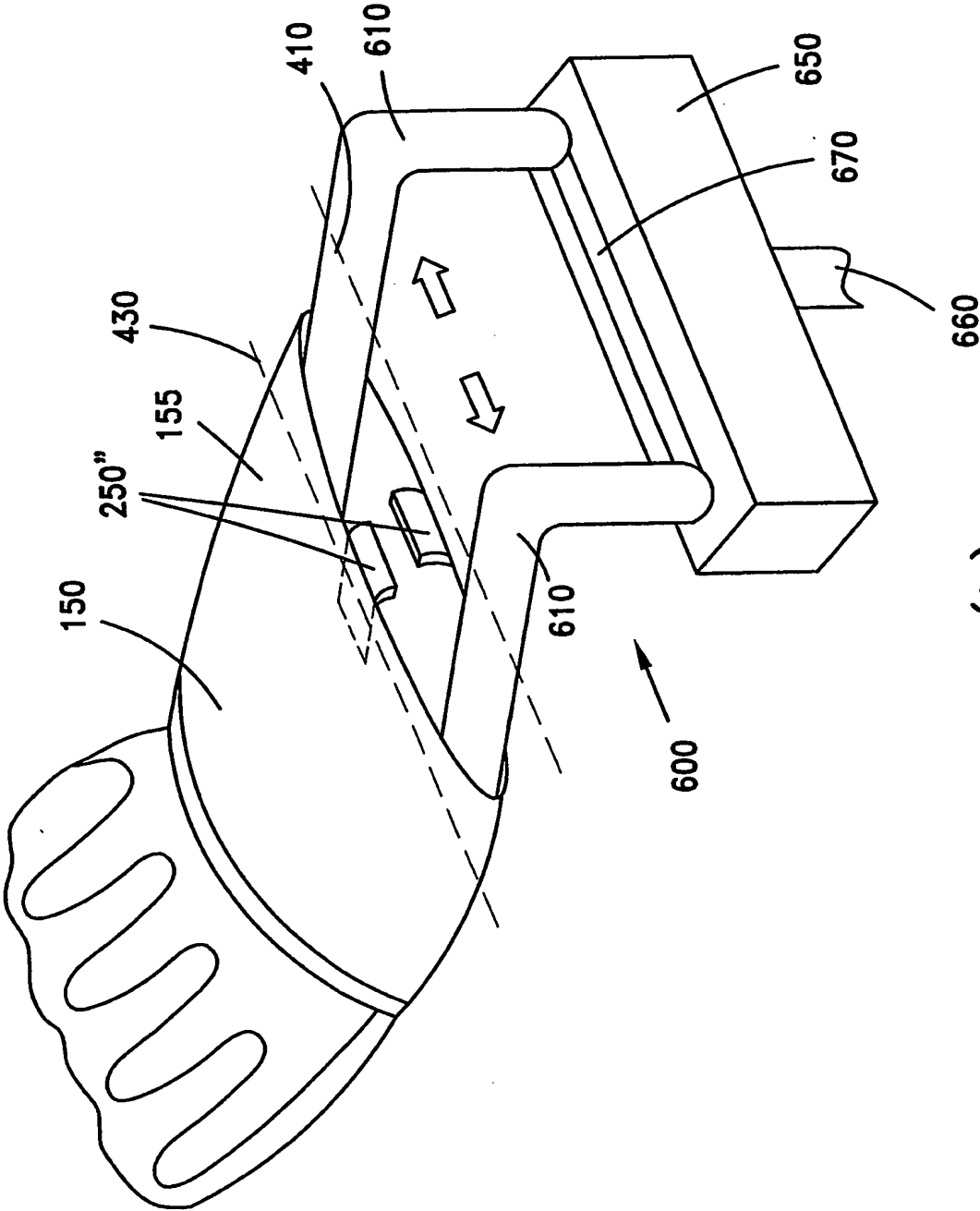


Fig. 6(b)



9/19

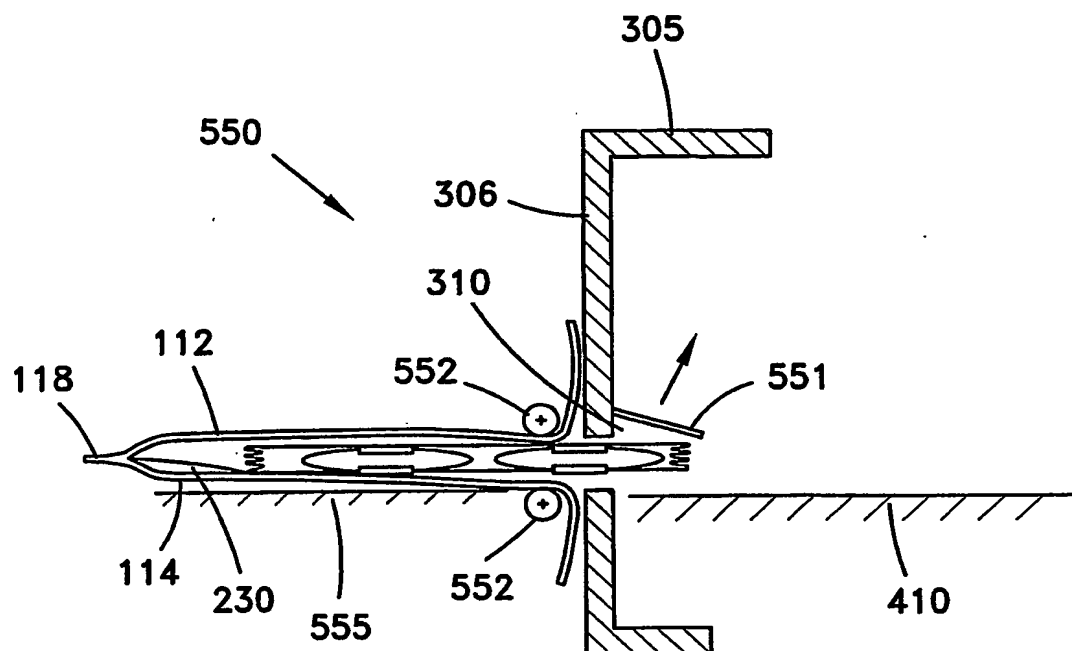


Fig. 7(a)

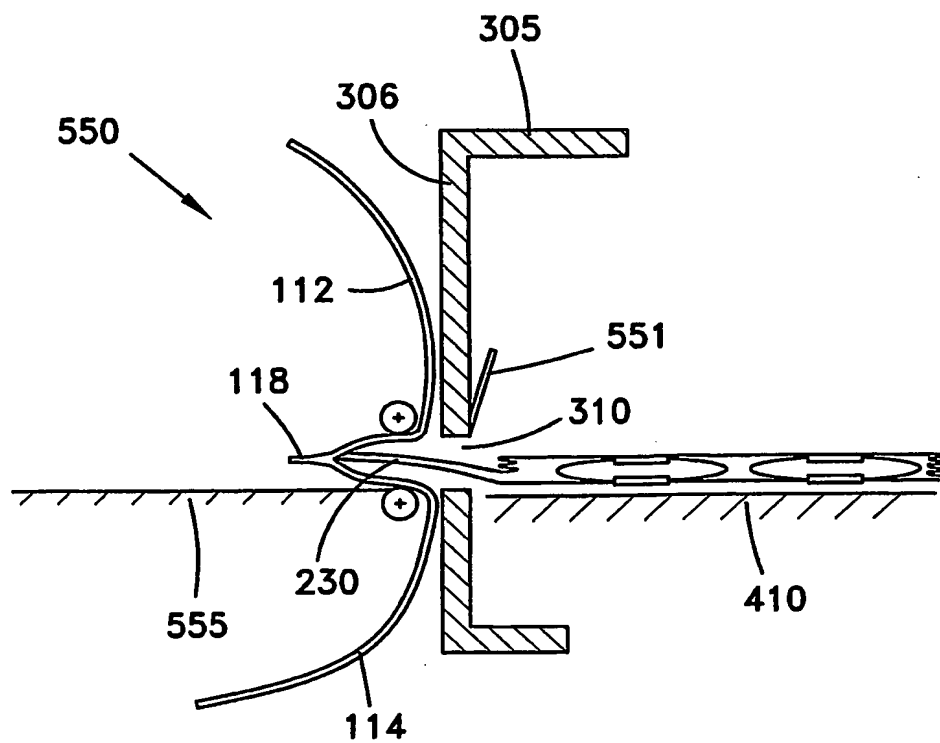


Fig. 7(b)

10/19

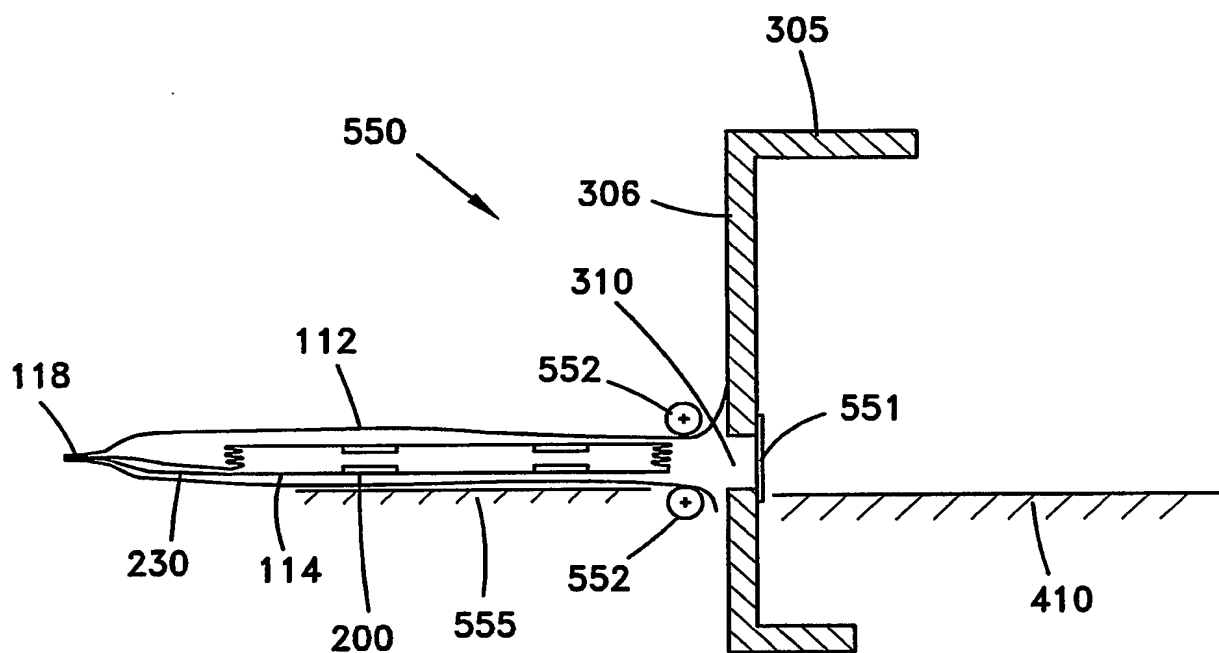


Fig. 7(c)

11/19

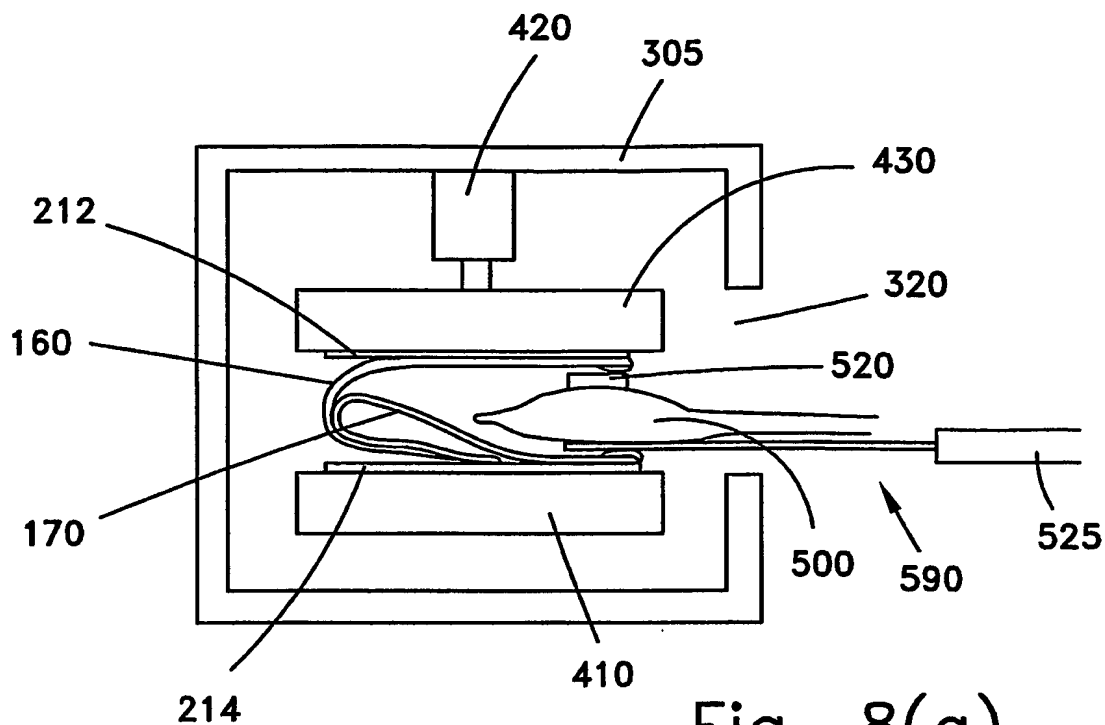


Fig. 8(a)

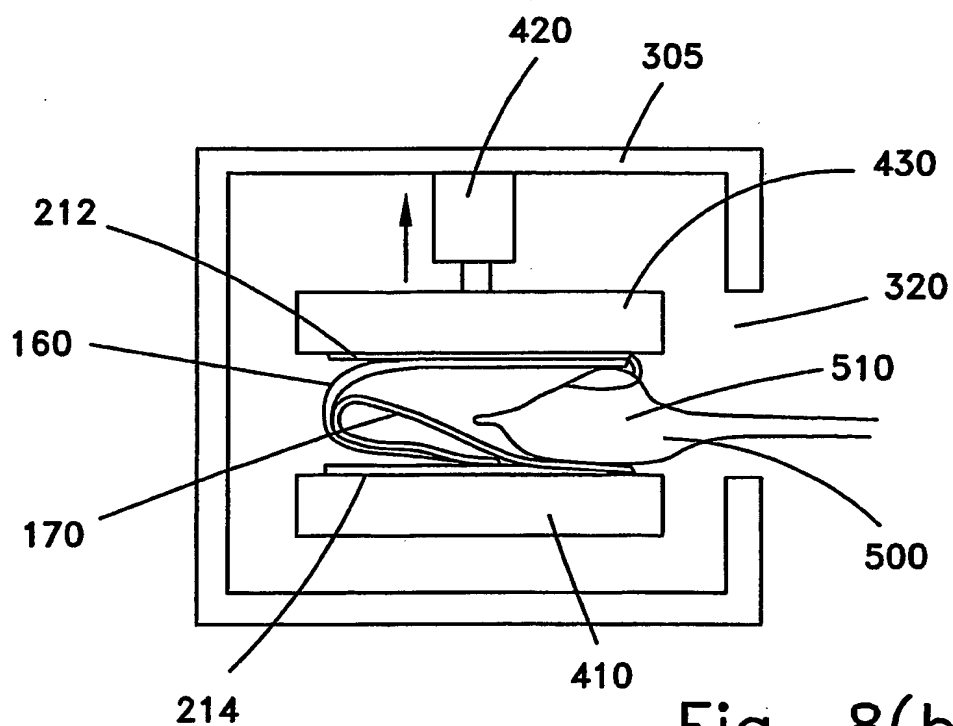


Fig. 8(b)

12/19

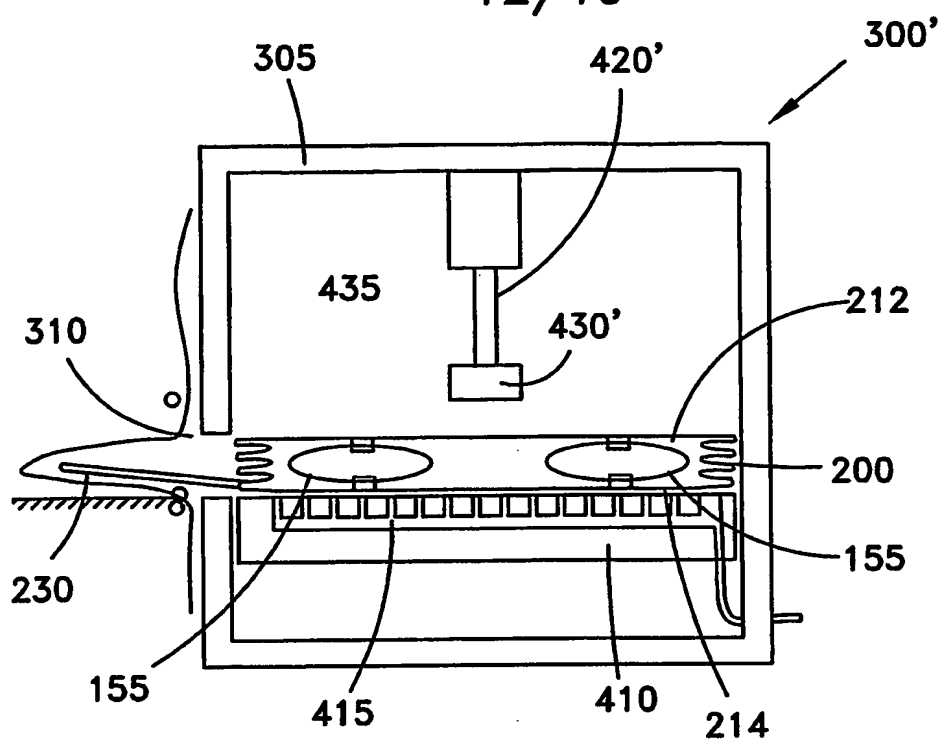


Fig. 9(a)

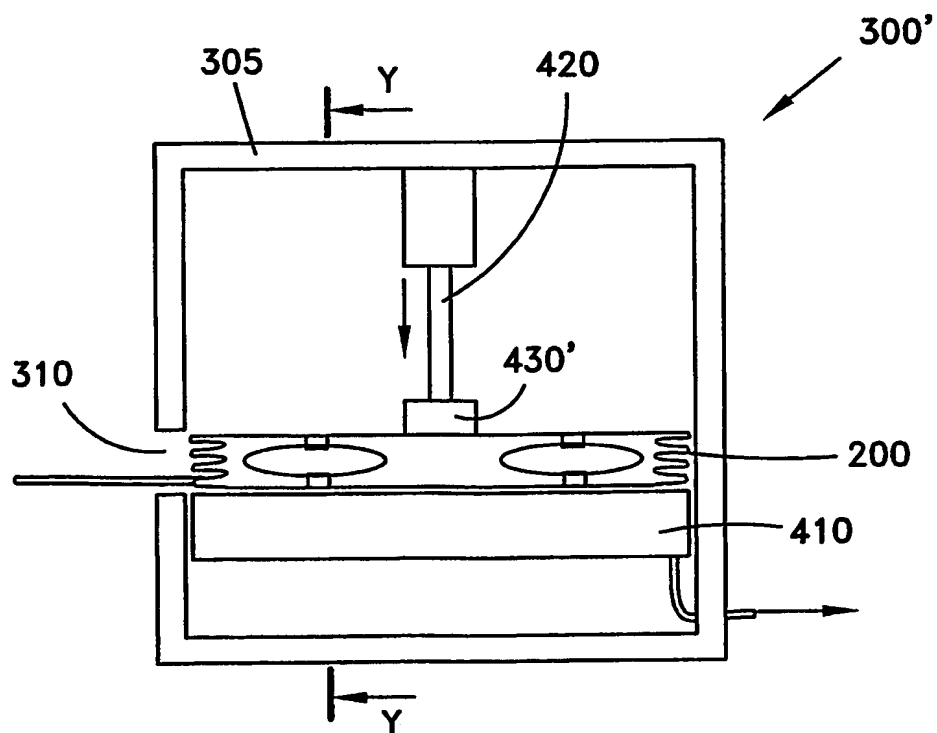


Fig. 9(b)

13/19

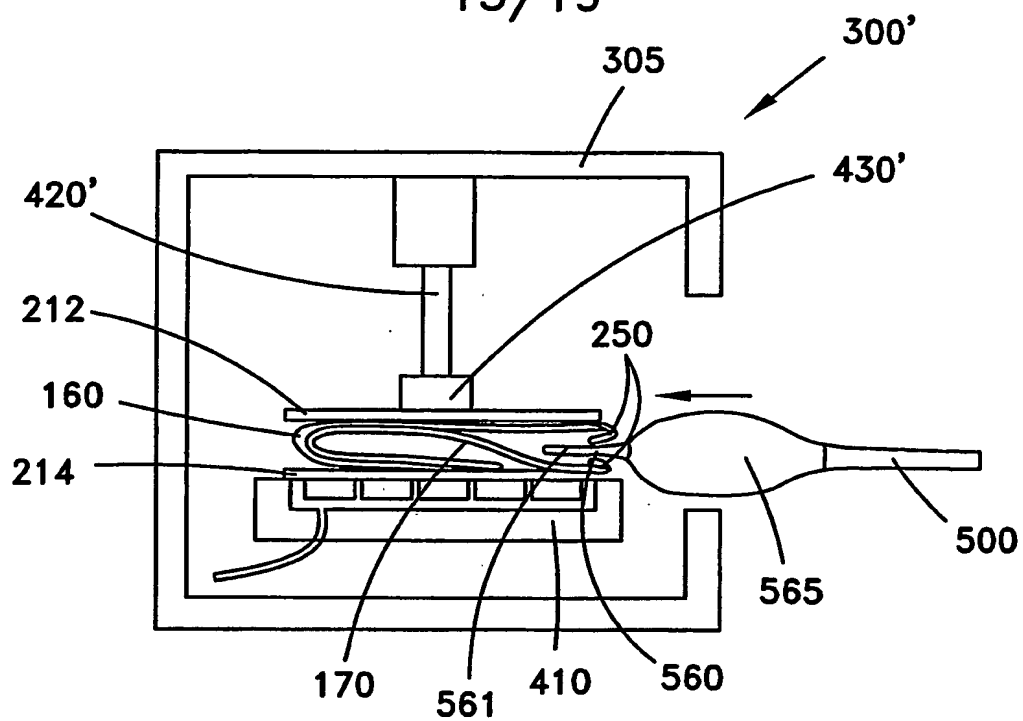


Fig. 10(a)

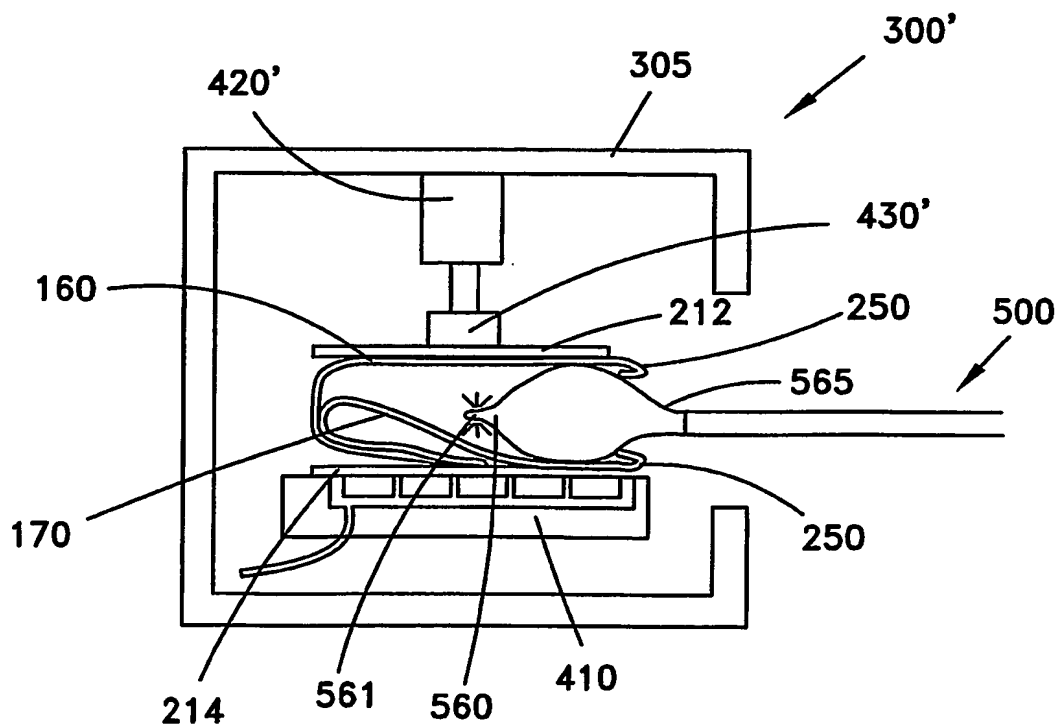


Fig. 10(b)

14/19

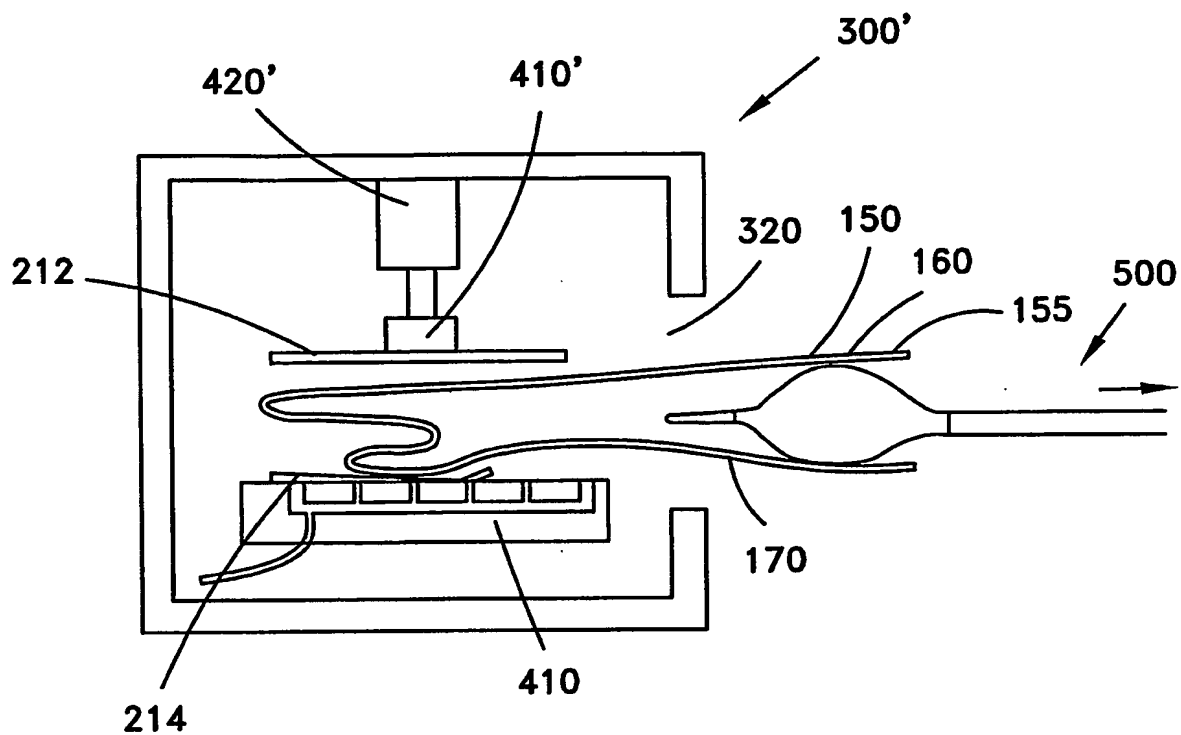
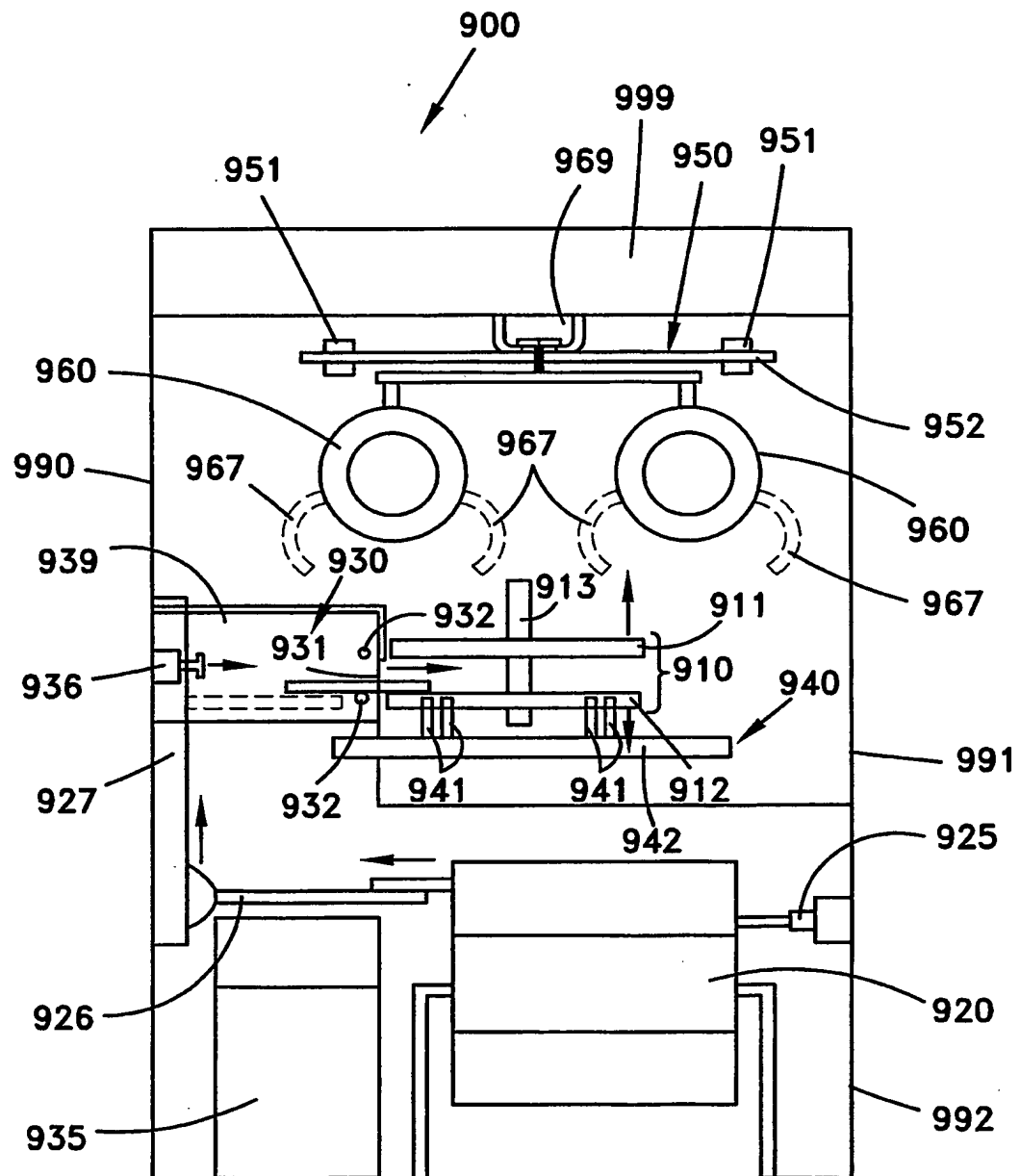


Fig. 10(c)

15/19



16/19

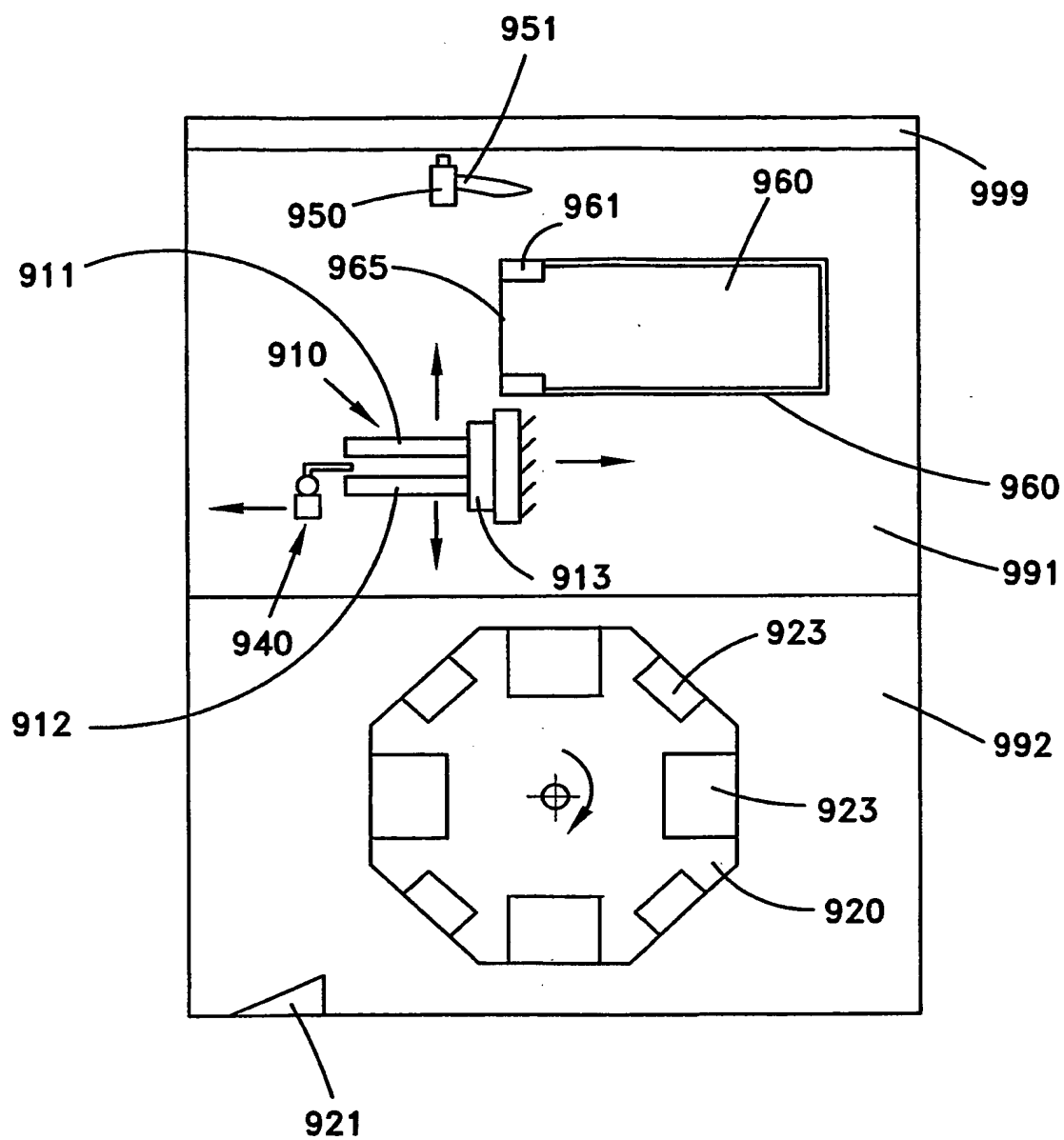


Fig. 12



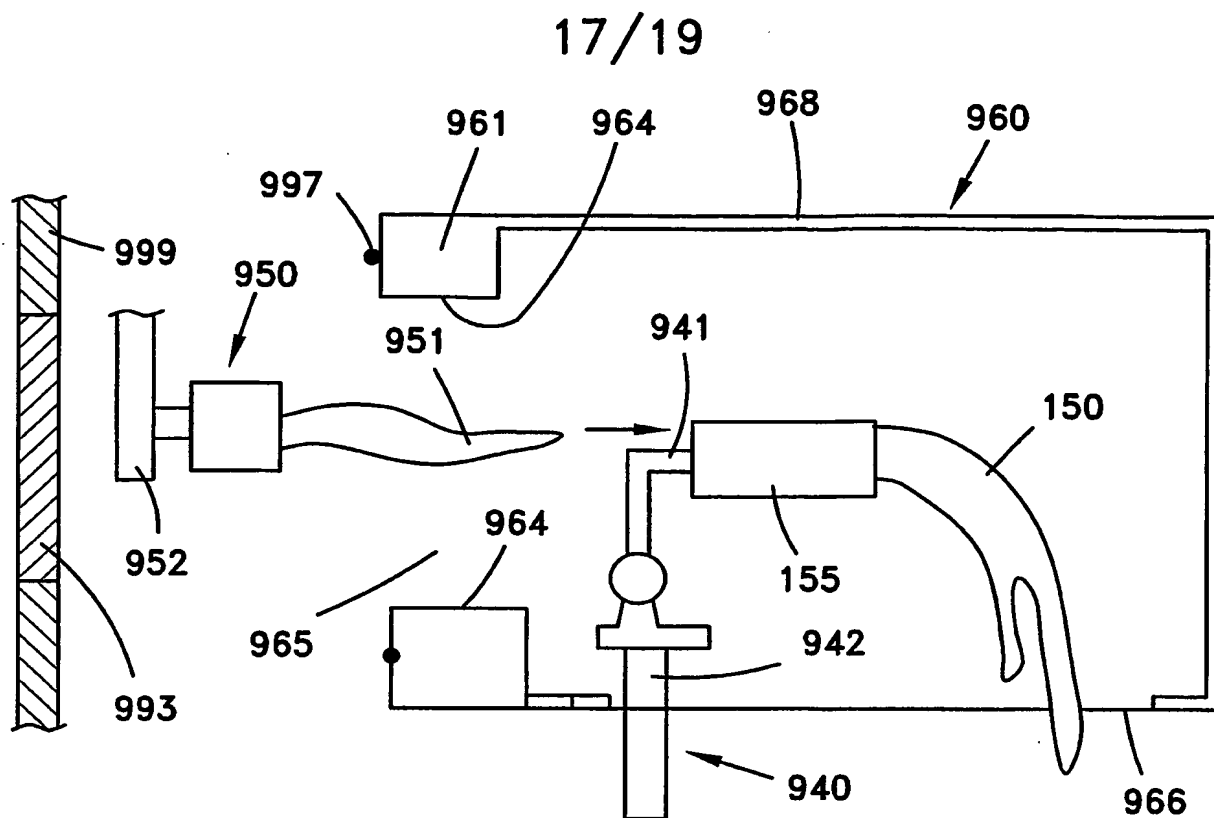


Fig. 13(a)

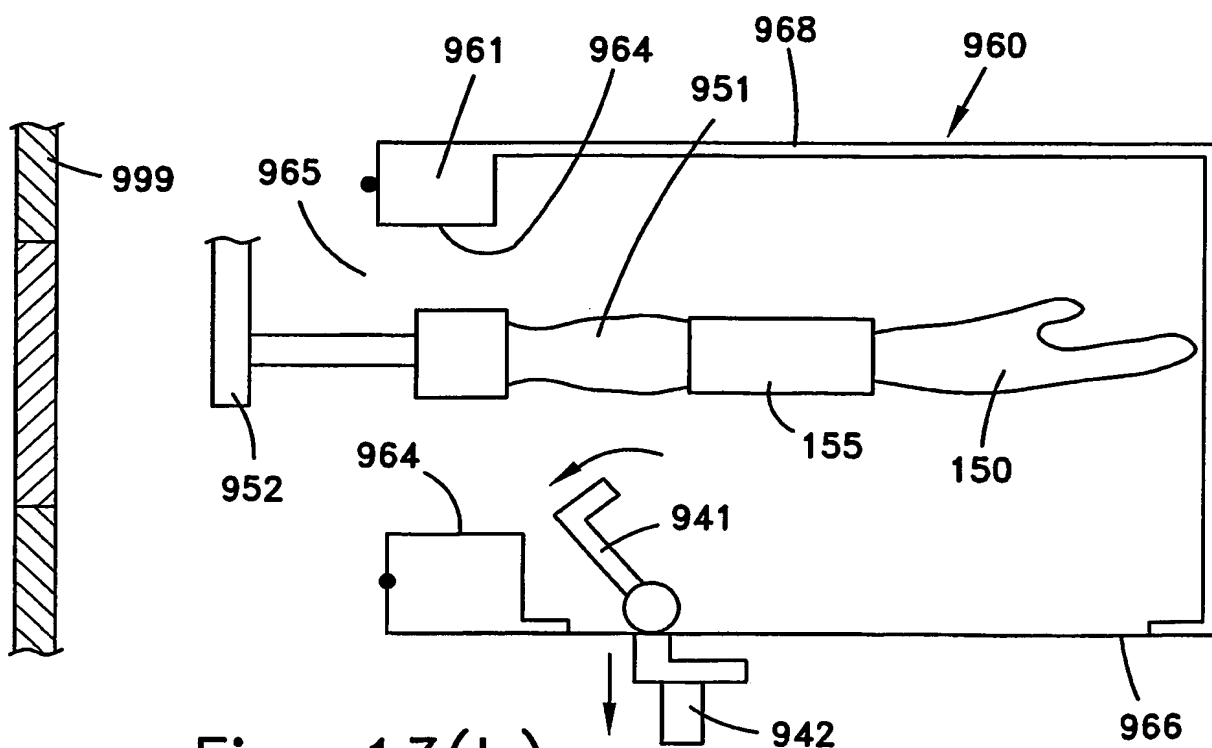


Fig. 13(b)

18/19

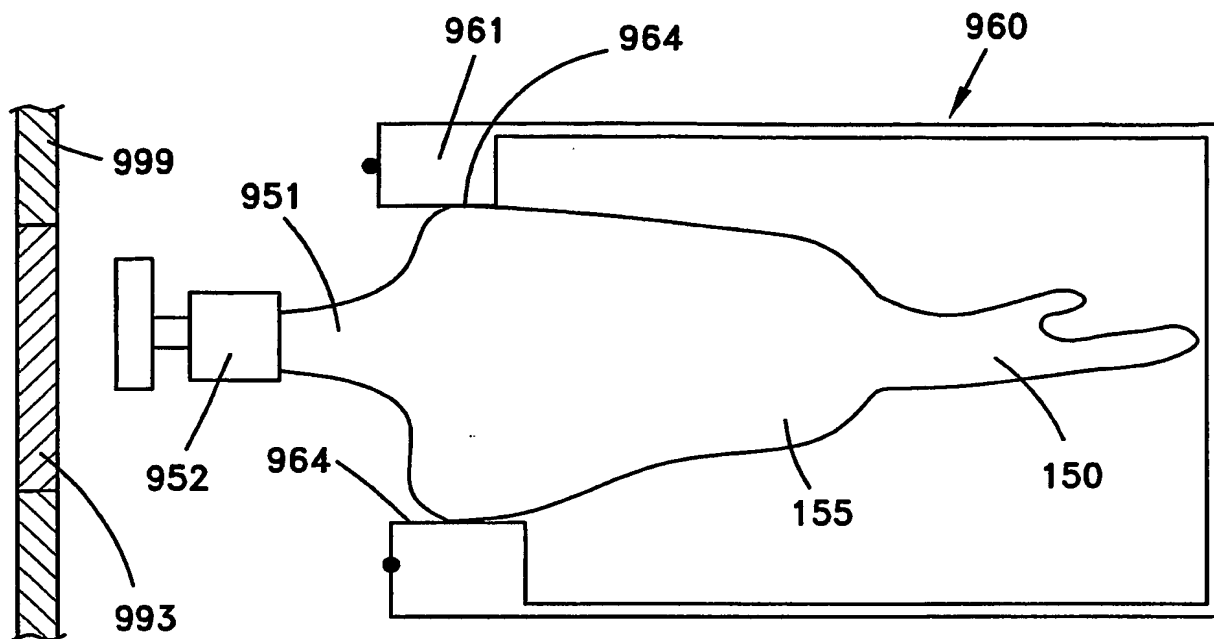


Fig. 13(c)

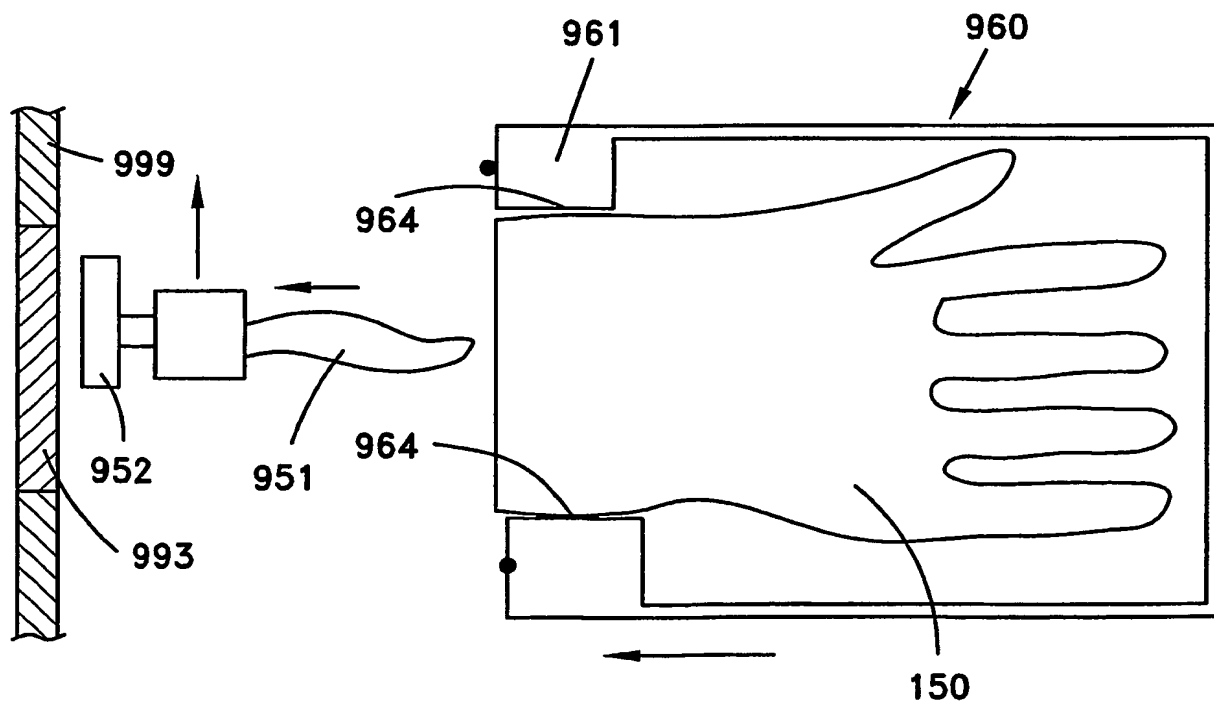


Fig. 13(d)

19/19

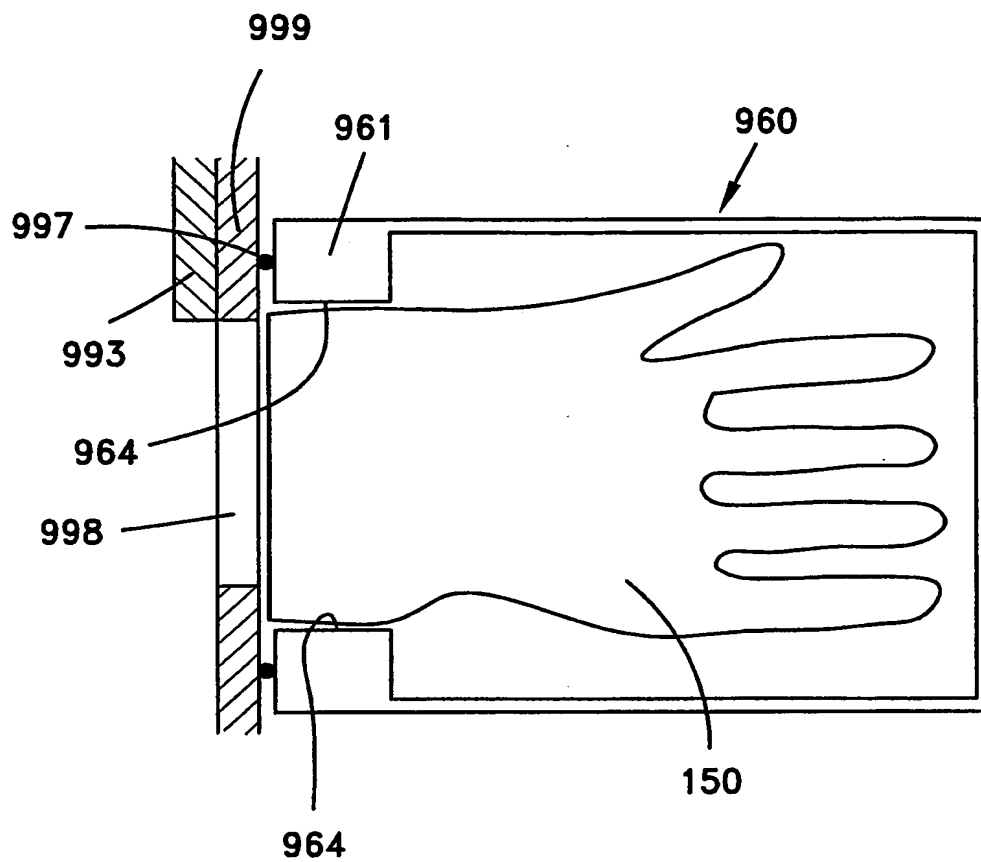


Fig. 13(e)